

宮崎大学工学部土木工学科 正員 原田 隆典
三井共同建設コンカルタ 正員 横永 修一
パシフィックコンサルタンツ 正員 三宅 浩正

1. まえがき 図-1に示すような地中円筒剛体基礎の動的ばね係数と減衰係数の評価式を開発し、起振機を用いた実験結果と比較検討したのでその概要を報告する。この評価式は、水平と回転の連成振動を対象として、図-1に示すような、表層地盤の途中に基礎底面が設置される場合を基本モデルとする。半無限地盤の場合や基礎が表層地盤を貫き基礎底面が基盤に設置される場合は基本モデルのパラメータを変えて処理することができる。

2. 動的復元力の評価式の概説 水平と回転の連成モードに対する動的ばね係数と減衰係数は、式(1)×(2)で与えられる。ここに、 C_{ij} , S_{ij} はそれを水平と回転に対する基礎底面及び基礎側壁の無次元複素ばね係数であり、実数部は地盤の剛性を、虚数部は減衰性を表す。基礎底面については、Kausel らの研究から¹⁾、水平成分では、 $\alpha/H_1 \leq 1$ で、

$$C_{ui} = \frac{8}{2-U} \left(1 + \frac{\alpha}{2H_1} \right), \quad C_{uz} = \begin{cases} 0.53 \omega \alpha / v_s & U=0.0 \\ 0.40 \omega \alpha / v_s & U=0.5 \end{cases}$$

ここで、 ω =振動数、 U =モアソン比、 v_s =せん断波速度、回転成分は

$$C_{\varphi i} = \frac{8}{3(1-U)} \left(1 + \frac{\alpha}{6H_1} \right), \quad C_{\varphi z} = \frac{0.3(\omega \alpha / v_s)^3}{1 + (\omega \alpha / v_s)^2}$$

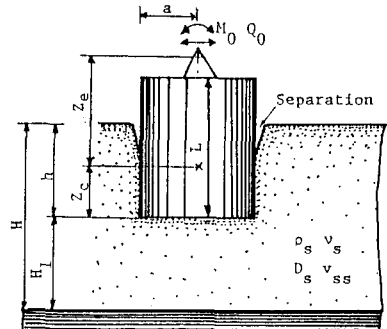


図-1 数字モデルとその記号

基礎側壁の S_{ij} の解析解の詳細

は参考文献(2)に譲るが、解析

解の簡易式を次のように求めた。

$$S_{ij} = St_j \times Sd_{ij} \times X \cdots (3)$$

St_j は静的無次元ばね係数で、式(4)×(5)で与えられる。一方、

Sd_{ij} は振動特性を表すし、式(6)～(9)で与えられる。 ω_g と ω_p は表層地盤の基本せん断及公称

波固有振動数である。式(3)の X は、拘束圧の不足などによる

dynamic spring coefficients K_{ij} ,

$$K_{xx} = G a [c_{u1} + \frac{G_s}{G} \delta s_{u1}]$$

$$K_{\psi\psi} = G a^3 [c_{\psi1} + (\frac{Z_c}{a})^2 c_{u1} + \frac{G_s}{G} \delta s_{\psi1} + \frac{G_s}{G} \delta (\frac{\delta^2}{3} + \frac{Z_c^2}{a^2} - \delta \frac{Z_c}{a}) s_{u1}] \quad (1)$$

$$K_{x\psi} = - G a [Z_c c_{u1} + \frac{G_s}{G} \delta (Z_c - \frac{1}{2} h) s_{u1}]$$

and dynamic damping coefficients C_{ij} ,

$$C_{xx} = \frac{G a}{\omega} [c_{u2} + \frac{G_s}{G} \delta s_{u2}]$$

$$C_{\psi\psi} = \frac{G a^3}{\omega} [c_{\psi2} + (\frac{Z_c}{a})^2 c_{u2} + \frac{G_s}{G} \delta s_{\psi2} + \frac{G_s}{G} \delta (\frac{\delta^2}{3} + \frac{Z_c^2}{a^2} - \delta \frac{Z_c}{a}) s_{u2}] \quad (2)$$

$$C_{x\psi} = - \frac{G a}{\omega} [Z_c c_{u2} + \frac{G_s}{G} \delta (Z_c - \frac{1}{2} h) s_{u2}]$$

in which $\delta = h/a$ is embedment ratio and c_{ij} ($i=u,\psi;j=1,2$) is nondimensional dynamic stiffness for base of foundation, s_{ij} for side wall of foundation.

$$St_u = \left(\frac{-1.2}{v_s - 0.59} + 11 \right) \left(\frac{\alpha}{H} + \frac{0.002}{L_g - 0.53} + 0.19 \right) \cdots (4) \quad St_\varphi = \left(\frac{-0.56}{L_g - 0.51} + 4.7 \right) \left(\frac{\alpha}{H} + \frac{0.08}{L_g - 0.64} + 0.61 \right) \cdots (5)$$

(6) $0 \leq \frac{\omega}{\omega_g} \leq 1$	$Sd_{u1} = 1 - 0.9 \sqrt{\frac{\alpha}{H}} \left(\frac{\omega}{\omega_g} \right)^3, \quad Sd_{u2} = 0.24 D_s^{0.2} \left(\frac{\omega}{\omega_g} \right)^6$	(8) $0 \leq \frac{\omega}{\omega_p} \leq 1$	$Sd_{\varphi 1} = 1 - 0.9 \sqrt{\frac{\alpha}{H}} \left(\frac{\omega}{\omega_p} \right)^3, \quad Sd_{\varphi 2} = 0.41 \sqrt{D_s} \left(\frac{\omega}{\omega_p} \right)^6$
--	---	--	--

(7) $1 \leq \frac{\omega}{\omega_g} \leq 5$	$Sd_{u1} = \left\{ \begin{array}{l} 1.25 - 0.9 \sqrt{\frac{\alpha}{H}} - 0.25 \left(\frac{\omega}{\omega_g} \right)^3, \quad A \quad (0.3 \leq \frac{\alpha}{H} \leq 1, 0.47 \leq L_g \leq 0.49) \\ 1 - 0.9 \sqrt{\frac{\alpha}{H}} \quad , \quad B \quad (\text{その他}) \end{array} \right. \\ Sd_{u2} = \left\{ \begin{array}{l} (0.3 + 1.2 \sqrt{\frac{\alpha}{H}}) \left(\frac{\omega}{\omega_g} - 1 \right) + 0.24 D_s^{0.2}, \quad A \\ (0.25 + \sqrt{\frac{\alpha}{H}}) \left(\frac{\omega}{\omega_g} - 1 \right) + 0.24 D_s^{0.2}, \quad B \end{array} \right. $	(9) $1 \leq \frac{\omega}{\omega_p} \leq 5$	$Sd_{\varphi 1} = 1 - 0.9 \sqrt{\frac{\alpha}{H}}$ $Sd_{\varphi 2} = (0.02 + 1.5 \sqrt{\frac{\alpha}{H}}) \left(\frac{\omega}{\omega_p} - 1 \right) + 0.41 \sqrt{D_s}$
--	---	--	--

地表近傍の地盤と基礎側壁の不完全付着などの効果を近似的に表す係数である。もちろん、 $K=1.0$ の場合には完全付着の場合を表すし、式(1)と(2)で与えられる動的復元力の評価式は通常の粘弹性地盤を想定した有限要素法の結果とよく一致した値を与えることが確かめられている。²⁾

3. 加振実験結果との比較検討

表-1のオーバーレイ図に示すよう半径 0.68~2.82 m の 4 つ

の埋設基礎の頂部水平加振実験から得られた基礎頂部の単位力当たりの水平応答変位と式(1)と(2)を用いた計算値の比較を示すと、図-2

~5 のようになる。計算では、現地の弾性波

探査から得られていて弾性定数を直接使用して、式(3)の低減係数 $\kappa = 1/4 \sim 1/2$ を用いたが、図-2~5 に示すように両者のよい一致が認められる。表-1 は 4 つの実験値との比較結果をまとめたもので、6 列目の値は地表

レベルの基礎応答変位

図-4 横木らの実験結果と計算値の比較

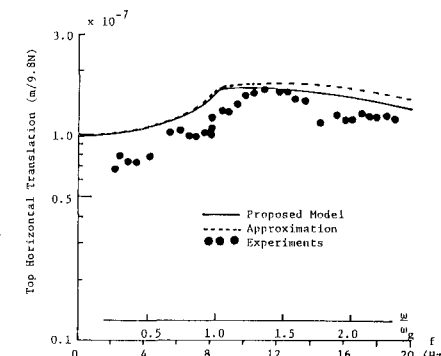


図-2 日本建築学会の実験結果と計算値の比較

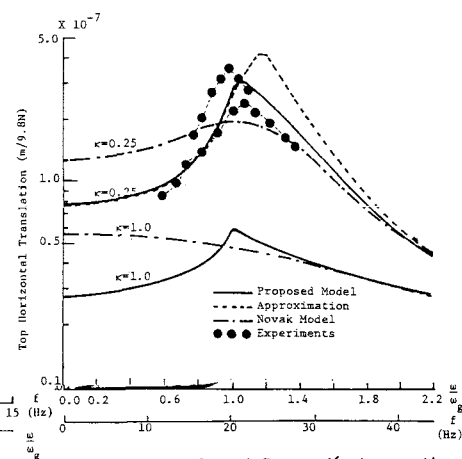


図-3 土岐らの実験結果と計算値の比較

を根入深度で除したもので、基礎の擬相対回転角を表す。この値は基礎側壁近傍の地盤変形率(歪)に関係する量と考えられるが、この値が $10^{-5} \sim 10^{-4}$ 程度では、 $K=\frac{1}{4} \sim \frac{1}{2}$ を使用すると、提案式は実験値をうまく説明できるようである。なお、実験結果は、とくに土岐憲三教授(京都大学)、日本建築学会、建物と地盤の相互作用に関する特別委員会(大表、大崎順博博士、清水建設)、川島一彦博士(建設省土木研究所)および横木信昭氏(日本鋼管株式会社)の御厚意により提供いただいたもので、ここに記して感謝の意を表す次第である。

- 1) Kausel, E. and Roestel, J. M.: Dynamic Stiffness of Circular Foundations, Proc. of ASCE, Vol. 101, No. EM6, 1975 Dec.
- 2) 原田久保、片山: Dynamic Soil-Structure Interaction Analysis by CFM, 鹿児島大学生産技術研究報告, Vol. 29, No. 5, 1981.

表-1 4つの実験結果と計算値の比較表

case no	radius (m) (2)	force* (N) (3)	f_{s1Comp} f_{s1Meas} (4)	$\frac{u_{TComp}}{u_{TMeas}}$ (5)	θ^{***} ($\times 10^{-5}$) (6)	κ (7)
4-1	0.68	1960~3920	1.04 (1.2) **	0.86 (1.1)	2.5~7.0	0.25
4-2	2.82	3920~7840	1.04~1.14 (1.04~1.14)	1.1~1.4 (1.1~1.4)	0.8~6.0	0.25
4-3	1.00	1274~2940	1.04~1.08 (1.02~1.05)	1.1~1.7 (0.82~1.4)	12~14	0.30
4-4	1.47	29400	-----	-----	15~27	0.33

* Exciting Force at First Resonant Frequency of Foundation

** By Approximate Model

*** (u_{TComp} / u_{TMeas}) / (Embedment Depth)